

## V-19 動的解析によるオーバーレイ厚決定の一手法

富崎大厚工厚部 正員 ○横田 漢  
同上 正員 藤本 康

## 1. まえがき

最近、ダイナフレクト、ロードレイターなどの動的載荷試験により舗装面上のたわみ量を測定し、それを多層弾性地盤理論と組み合せて、オーバーレイ厚が決定されている<sup>1)</sup>。しかし、オーバーレイ厚決定の基礎となる多層弾性理論はいずれも静的解析であり、厳密には多層弾性体の波動問題論解法が必要なところである。だが、その厳密解は困難があり、近似解としてFEM、BEM解析などが考えられるが、地盤上のスラブの動的解析は一つの手法といえる。本研究は、半無限弾性体上のTimoshenko型スラブ（スラブの接觸におよび、スラブのせん断変形と回転慣性を考慮したものと、以降T.Sと略称する）に周期荷重が作用する場合の理論解をオーバーレイ問題に適用したものだが、具体的な内容としてはまず、T.S理論解についてその特性を考察し、次に同理論解の実験的照査を検討したうえで、オーバーレイ厚決定手法を述べていく。

## 2. T.S解の特性および実験的照査

円型等令荷重が周期的に半無限弾性体上の無限T.Sに作用する場合のスラブのたわみ $w$ 、および半無限体の垂直応力 $\sigma_z$ を荷重中心実に求め、それを図-1、2に示す。同図中、 $a_0$ は無次元振動数、 $E$ 、 $E_1$ はそれぞれ半無限体、スラブの弾性係数、 $R$ は荷重半径、 $P$ は荷重の合力を意味し、また、 $\xi_z = z/R$  で $\xi_z$ は半無限体の表面からの深さ、 $H$ はスラブ厚である。なお、実線は通常のスラブ(C.Sと略称)の解、実線はT.Sの解を表している。T.Sは $K = E_1/E$ が10（たわみ性舗装に相当）と $10^3$ （剛性舗装）の2例のみを示すが、 $K = 10$ とはC.Sの解と大差なく、一本の実線で表されてしまう。しかし、 $K = 10$ の場合は、 $w$ はC.Sと比べて10～20%の増加、 $\sigma_z$ は $0$ で20%の増加、 $\xi_z = 5$ における $w$ の増加が、それそれ認められる。これらは、 $K(E_1)$ が小なり場合ではせん断変形の影響が大きく現われたためであり、たわみ性舗装におけるT.S解の必要性を示していようといえる。

図-3、4は、地盤上のRCスラブ(5m正方、厚さ15cm)の中に走る振動子で上下方向に加振し、土圧計、加速度計などの測定によりえられたたわみと土圧を示すものと、それをスラブ中心ににおける値を各振動数における振動子強度 $|t|$ で除して $1/t$ あたりの大きさで表してある。実線(I)は、実験結果を検証するため行なったバネ支持平板の強制振動の解、(II)は本理論の適用例である(E=10、C.S解)。本理論解は、土圧に與しては実測値の2倍も大きく現われているが、たわみ量は実測値(I)解とそれほど大差なく、一応信頼できるものとし、本理論はオーバーレイ問題に適用可能だと考えるヒントとする。

## 3. オーバーレイ厚決定手法

図-5は、スラブの弾性係数 $E$ は一定であり、地盤の弾性係数 $E_1$ が変化する場合につれて、スラブ厚 $R_0 (=R/H)$ を1マーメタとして求めた荷重中心実のたわみ $w$ あり、舗装の弱化が $E$ と $H$ の減少で生じていう場合に利用出来る

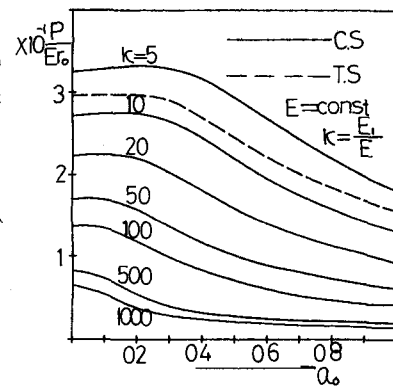


図-1. 荷重中心実におけるスラブのたわみ

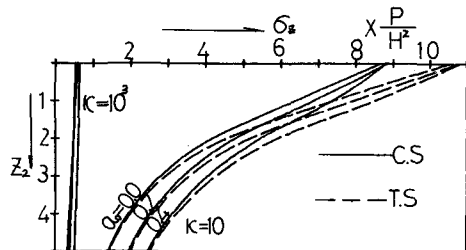


図-2. 荷重中心実における深さ方向の垂直応力

3. なお、 $b_0$ は無次元振動数、 $W_a$ および $W_m$ はそれぞれ許容たわみ量、 $\times 10^3$ cmとオーバーレイ時の測定たわみ量を意味している。剛性舗装を例にとて、オーバーレイ厚 $\Delta H$ を求める手順を説明する。いま、道路施工時の状態をAとす。すなはち、コンクリートスラブの $E_1$ は既知とし、路盤以下路体の弾性係数 $K_0$ を施工時に推定して、 $K_0 = E_1/E$ の値をえており、また、 $K_0$ から縦軸に平行線を引いて $W_a$ -線との交差をAとし、A点を通る $R_o$ -線を求めてスラブ厚 $R_o$ を決定してしまう。オーバーレイ時、 $b_0=0.02$ の振動数 $f$ を加振してたわみ量 $W_m$ をえ、またスラブ厚を測定し、 $R_m$ をえれば、 $W_m$ と $R_m$ との交差Bより縦軸に平行線 $BK_m$ を下した点 $K_m$ が路体の弾性係数 $K_m$ に相当する。弱化した路体に対する必要スラブ厚は、 $W_a$ -線と $BK_m$ との交差Cを通る $R_{or}$ -線の大ささより決まる。従って、オーバーレイ厚は

$$\Delta H = R_o - R_m \quad \text{---(1)}$$

11. 同図中の $E_1$ 、 $R_o$ 、 $P$ などに数値を与え、 $W_a$ 、 $W_m$ および $\Delta H$ などの大きさを求めてみる。なお、 $b_0$ は  $b_0 = 2\pi f R_o \sqrt{2(1+\mu)} \rho / E_1$  と与えられており、 $b_0 = 0.02$  の値は、 $E_1 = 1.4 \times 10^5$  kgf/cm<sup>2</sup>、地盤のボアソン比 $\mu$ 、密度 $\rho$ はそれぞれ、 $\mu = 1/4$ 、 $\rho = 1.8 \text{ g/cm}^3$ 、 $R_o = 25 \text{ cm}$ 、振動数 $f = 25 \text{ Hz}$ の諸数値のせばに設定されてる。まず、 $W_a$ の値について、いま、 $P = 20 \text{ tmf}$  と仮定し、図中より $W_a$ の無次元量の大ささをもと読みとれば、 $W_a = \frac{P}{E_1 R_o} \times 14$  たり約 0.8 mm となる。同様に、 $W_m \approx 1.4 \text{ mm}$  をえる。また、道路施工時の $E$ および $H$ の大ささは、図中より $K$ 値を 200 と読み、 $E = E_1/K = 700 \text{ kgf/cm}^2$ 、 $H = (50 \sim 60) \text{ CBR}$  の関係式<sup>3)</sup>を用いれば、 $CBR = 12 \sim 14$ となり、 $R_o = R_o/H = 1.0$  より  $H = 25 \text{ cm}$ 。

これらの諸数値は、現行試験法の値と大体、合致する。最後に $\Delta H$ の大ささは、 $R_{or}$ 、 $R_m$ の値をもとめ、約 0.9、1.25 と読みれば、式(1)より、 $\Delta H = 77 \text{ mm}$ となる。

図-6 は、舗装部分の弾性係数 $E$ が減少して弱化が生じた場合に利用出来るグラフで、 $\Delta H$ を求める手法は図-5 と同様である。

#### 4. あとがき

地盤上のスラブの振動理論は、一応、オーバーレイ問題に適用可

能であり、たわみ性舗装<sup>1)</sup>、T.S 理論<sup>2)</sup>が重要な役割を果たすことが認められて、今、オーバーレイ厚決定手順について<sup>1)</sup>、C.S 理論<sup>2)</sup>を説明したが、T.S 理論<sup>2)</sup>によるオーバーレイ厚決定グラフ<sup>1)</sup>については、今後 BEM 解析とあわせて報告する予定である。

(参考文献) 1) 例へば佐藤勝久他、土木学会論文報告集、No.303号、1980、pp.109~118。2) 横田漠、官大工部研究報告、No.19号、1973、pp.71~76。3) 佐村幸治、舗装、Vol.17, No.9, 1982, pp.12~21

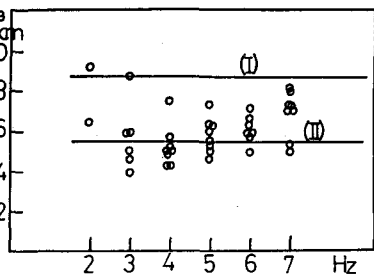


図-3. スラブ中心実におけるたわみ

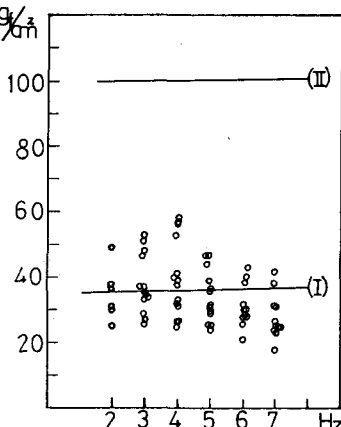


図-4. スラブ中心実における圧

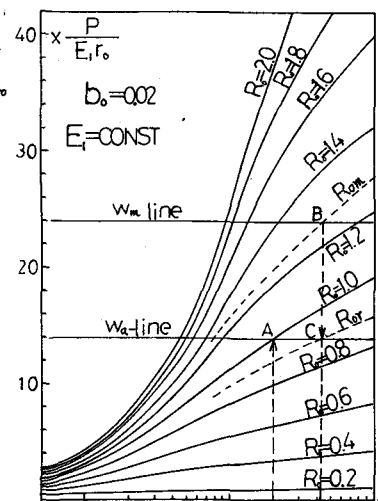


図-5. オーバーレイ厚決定曲線( $E_i = \text{定}$ )

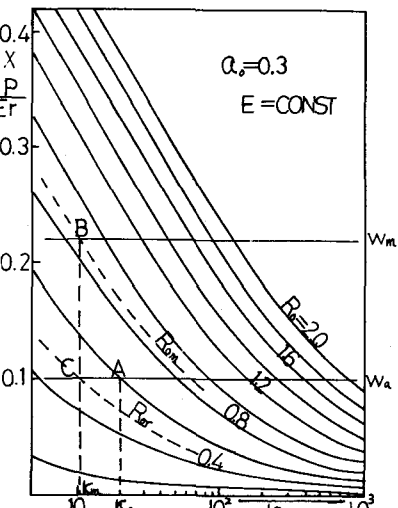


図-6. オーバーレイ厚決定曲線( $E = \text{定}$ )